



Εθνικό Μετσόβιο Πολυτεχνείο
Σχολή Μηχανολόγων Μηχανικών

Υπολογισμός ροής στο εσωτερικό αγωγού μεταβλητής διατομής

Εργασία Προαιρετική (2)
στο μάθημα 7^{ον} εξαμήνου:
Υπολογιστική Ρευστομηχανική

Ονοματεπώνυμο: Βάββας Αλέξιος
Πατρώνυμο: Ιωάννης
Α.Μ.: mc20050
Ημ/νία παράδοσης: 07 / 01 / 2024

Αθήνα, Ιανουάριος 2024

Πίνακας Περιεχομένων

Εισαγωγή	3
Περιγραφή Προβλήματος.....	4
Διακριτοποίηση χωρίου και σκιαγράφηση πορείας	6
Υπολογισμός παροχών (Fluxes) στην επιφάνεια.....	7
Runge – Kutta για βηματισμό στον χρόνο.....	8
Αλγόριθμος επίλυσης.....	9
Παρουσίαση Αποτελεσμάτων	10
Μια στένωση στον αγωγό.....	10
Δυο διαδοχικές στενώσεις	12
Παράρτημα – Κώδικες.....	13
Ορισμός μεταβλητών σχήματος.....	13
Βασική Επίλυση Ροής.....	14
Βασικές συναρτήσεις που χρησιμοποιήθηκαν.....	16

GitHub Repository:

https://github.com/AlexiosVavvas/cfd_variable_diam_pipe_2o_proairetiko

Κατάλογος Διαγραμμάτων

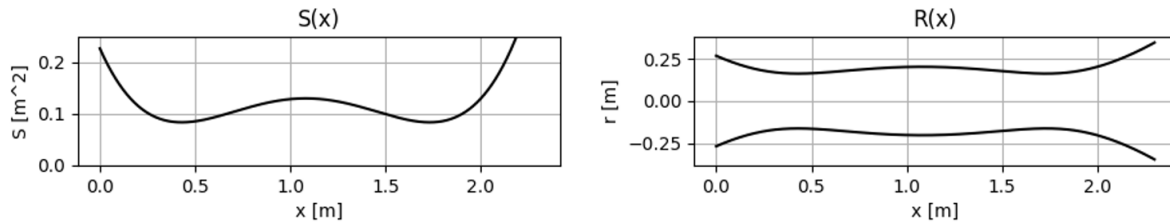
Εικόνα 1: Διαγραμματική απεικόνιση εμβαδού διατομής και ακτίνα συναρτήσει της απόστασης x	4
Εικόνα 2: Διάγραμμα ροής στο οποίο φαίνεται το σκεπτικό πίσω απ' το κυρίως κομμάτι κώδικα	9
Εικόνα 3: Χαρακτηριστικό στιγμιότυπο από την προσομοίωση ροής σε αγωγό με ένα στένεμα	10
Εικόνα 4: Χαρακτηριστικό στιγμιότυπο από την προσομοίωση ροής σε αγωγό με δυο διαδοχικά στενέματα.....	12

Εισαγωγή

Σκοπός του παρόντος, όπως θα αναλυθεί και στη συνέχεια, είναι η μελέτη ροής στο εσωτερικό αγωγού μεταβλητής διατομής με στενώσεις. Για να επιτευχθεί αυτό γράφηκε κώδικας βασισμένος στη μέθοδο των χαρακτηριστικών και τον προσεγγιστικό επιλύτη του Roe. Ο κώδικας είναι γραμμένος σε python για 2 λόγους. Αφενός για ευκολότερη και γρηγορότερη συγγραφή του, και αφετέρου για λόγους οπτικούς αφού ζητούνται πολλά διαγράμματα και βίντεο με την εξέλιξη της ροής, πράγματα των οποίων η δημιουργία είναι μακράν ευκολότερη εκεί. Αυτό που ακολουθεί είναι μια παρουσίαση της μεθοδολογίας που ακολουθήθηκε, περιγραφή της γενικής ιδέας του αλγορίθμου με διαγράμματα ροής και τέλος παρουσίαση και σχολιασμός των αποτελεσμάτων.

Περιγραφή Προβλήματος

Σκοπός μας είναι ο υπολογισμός της ροής στο εσωτερικό αγωγού μεταβλητής διατομής με 2 στενώσεις, παραδείγματα των οποίων φαίνονται στα παρακάτω διαγράμματα:



Εικόνα 1: Διαγραμματική απεικόνιση εμβαδού διατομής και ακτίνα συναρτήσει της απόστασης x

Το ρευστό θεωρείται συμπιεστό (ιδανικό αέριο) και η ροή ατριβής. Επίσης θεωρούμε ότι οι κατανομές των ρευστομηχανικών μεγεθών σε κάθε διατομή είναι σταθερές οπότε μπορεί να λυθεί το πρόβλημα ως μονοδιάστατο (με χωρική ανεξάρτητη μεταβλητή την συντεταγμένη x). Το εμβαδό της διατομής S μεταβάλλεται με την απόσταση x και η εξίσωση για αυτό δίνεται από το παρακάτω:

$$S(x) = k + a y^2 (y^2 - b^2)$$

$$y = x - c$$

Όπου οι σταθερές προκύπτουν από τον αριθμό μητρώου του φοιτητή και είναι ως ακολούθως:

$$k = 0.13$$

$$a = 0.26$$

$$b = 0.92$$

$$c = 1.08$$

Το μήκος του αγωγού επιλέχθηκε αυθαίρετα 2.3 m για να κλείνει όμορφα η άκρη και να περιέχει και το δεύτερο στένωμα. Ακόμα, δεδομένα αποτελούν και οι οριακές συνθήκες για τις οποίες ισχύουν τα ακόλουθα:

$$(P_0, T_0)_{\text{αεροφυλακίου}} = (3.7 \text{ bar}, 275 \text{ K})$$

$$P_{\text{out}} = 1.5 \text{ bar}$$

$$T_{\text{atm}} = 273.15 \text{ K}$$

Οι εξισώσεις που θα λύσουμε έχουν ως εξής:

$$\frac{\partial}{\partial t} \begin{pmatrix} \tilde{\rho} \\ \tilde{\rho}u \\ \tilde{\rho}E \end{pmatrix} + \frac{\partial}{\partial x} \begin{pmatrix} \tilde{\rho}u \\ \tilde{\rho}u^2 + \tilde{p} \\ \tilde{\rho}Hu \end{pmatrix} = \begin{pmatrix} 0 \\ \tilde{p} \frac{dS}{S dx} \\ 0 \end{pmatrix}, \quad \tilde{\rho} = \rho S, \tilde{p} = p S$$

Το σχήμα αυτό είναι γνωστό ως η συντηρητική μορφή των εξισώσεων. Διαιρώντας παντού με τη διατομή S , μπορούμε να απλοποιήσουμε τα πράγματα και να καταλήξει η έκφραση ως εξής:

$$\frac{\partial}{\partial t} \begin{pmatrix} \rho \\ \rho u \\ \rho E \end{pmatrix} + \frac{\partial}{\partial x} \begin{pmatrix} \rho u \\ \rho u^2 + p \\ \rho H u \end{pmatrix} = \begin{pmatrix} 0 \\ \frac{p}{S} \frac{dS}{dx} \\ 0 \end{pmatrix}$$

Η οποία και είναι μία απ' τις μορφές που θα χρησιμοποιηθούν στη συνέχεια, και θα αναφερόμαστε σε αυτή ως η συντηρητική. Ακόμα υπάρχει η πρωταρχική / πρωτογενής μορφή:

$$\frac{\partial}{\partial t} \begin{pmatrix} \rho \\ u \\ p \end{pmatrix} + \begin{pmatrix} u & \rho & 0 \\ 0 & u & \frac{1}{\rho} \\ 0 & \rho c^2 & u \end{pmatrix} \cdot \frac{\partial}{\partial x} \begin{pmatrix} \rho \\ u \\ p \end{pmatrix} = \begin{pmatrix} -\frac{\rho u}{S} \frac{dS}{dx} \\ 0 \\ -\frac{\rho u c^2}{S} \frac{dS}{dx} \end{pmatrix}$$

Η συγκεκριμένη διευκολύνει την ανάλυση ιδιοτιμών:

$$\tilde{A} = \begin{pmatrix} u & \rho & 0 \\ 0 & u & \frac{1}{\rho} \\ 0 & \rho c^2 & u \end{pmatrix} \Rightarrow \begin{pmatrix} \lambda_1 \\ \lambda_2 \\ \lambda_3 \end{pmatrix} = \begin{pmatrix} u \\ u + c \\ u - c \end{pmatrix}$$

Επομένως, με βάση τα παραπάνω ορίζουμε:

$$u_c = \{u_{c1} \quad u_{c2} \quad u_{c3}\}^T = \{\rho \quad \rho u \quad \rho E\}^T$$

$$u_p = \{u_{p1} \quad u_{p2} \quad u_{p3}\}^T = \{\rho \quad u \quad p\}^T$$

Προφανώς μετατρέπουμε από τη μια γραφή στην άλλη ως έχει:

$$u_{c1} = u_{p1}$$

$$u_{c2} = u_{p1} \cdot u_{p2}$$

$$u_{c3} = \frac{u_{p3}}{\gamma - 1} + \frac{1}{2} u_{p1} u_{p2}^2$$

και

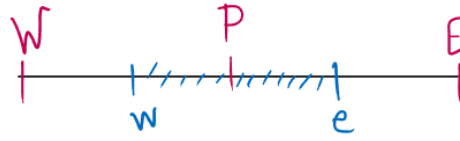
$$u_{p1} = u_{c1}$$

$$u_{p2} = \frac{u_{c2}}{u_{c1}}$$

$$u_{p3} = (\gamma - 1) \left(u_{c3} - \frac{1}{2} \frac{u_{c2}^2}{u_{c1}} \right)$$

Διακριτοποίηση χωρίου και σκιαγράφηση πορείας

Για τη διακριτοποίηση του χωρίου και την επίλυση των εξισώσεων θα χρησιμοποιήσουμε τη μέθοδο των πεπερασμένων όγκων.



Αρχική εξίσωση:

$$\frac{\partial U}{\partial t} + \frac{\partial F(U)}{\partial x} = Q(U)$$

Ολοκληρώνοντας στο παραπάνω σκιαγραφημένο χωρίο παίρνουμε:

$$\int \frac{\partial U}{\partial t} dx + \int \frac{\partial F(U)}{\partial x} dx = \int Q(U) dx$$

$$\Delta x \frac{\partial \bar{U}_i}{\partial t} + F|_{i+\frac{1}{2}} - F|_{i-\frac{1}{2}} = \Delta x \bar{Q}_i$$

$$\Delta x \frac{\partial \bar{U}_i}{\partial t} + F_e - F_w = \Delta x \bar{Q}_i$$

Ορίζω:

$$R(U_i) = F_e - F_w$$

Και έχουμε:

$$\Delta x \frac{\partial \bar{U}_i}{\partial t} + R(U_i) = \Delta x \bar{Q}_i$$

$$\frac{\partial \bar{U}_i}{\partial t} = \bar{Q}_i - \frac{R(U_i)}{\Delta x}$$

Με

$$F_e = \frac{1}{2} (F_P + F_E) - \frac{1}{2} |A_e| (U_P - U_E), \quad |A_e| = R_e |A_e| R_e^{-1}$$

$$F_w = \frac{1}{2} (F_W + F_P) - \frac{1}{2} |A_w| (U_W - U_P), \quad |A_w| = R_w |A_w| R_w^{-1}$$

Όπως θα δούμε αμέσως.

Υπολογισμός παροχών (Fluxes) στην επιφάνεια

Για τον υπολογισμό του F σε κάποιο face, έχουμε:

$$F_{face} = \frac{1}{2} (F_L + F_R) - \frac{1}{2} |A| \cdot (U_L - U_R)$$

$$F_{face} = \frac{1}{2} (F_L + F_R) - \frac{1}{2} R |A| L \cdot (U_L - U_R)$$

Όπου,

$$L = \begin{pmatrix} 1 - \frac{1}{2}(\gamma - 1) \frac{u_x^2}{c_x^2} & (\gamma - 1) \frac{u_x}{c_x^2} & -\frac{\gamma - 1}{c_x^2} \\ \left(\frac{1}{2}(\gamma - 1) u_x^2 - u_x \cdot c_x \right) \frac{1}{\rho_x c_x} & (c_x - (\gamma - 1) u_x) \frac{1}{\rho_x c_x} & \frac{\gamma - 1}{\rho_x c_x} \\ -\left(\frac{1}{2}(\gamma - 1) u_x^2 + u_x \cdot c_x \right) \frac{1}{\rho_x c_x} & (c_x + (\gamma - 1) u_x) \frac{1}{\rho_x c_x} & -\frac{\gamma - 1}{\rho_x c_x} \end{pmatrix}$$

$$R = \begin{pmatrix} 1 & \frac{\rho_x}{2 c_x} & -\frac{\rho_x}{2 c_x} \\ u_x & \frac{1}{2}(u_x + c_x) \frac{\rho_x}{c_x} & -\frac{1}{2}(u_x - c_x) \frac{\rho_x}{c_x} \\ \frac{1}{2} u_x^2 & \left(\frac{1}{2} u_x^2 + u_x c_x + \frac{c_x^2}{\gamma - 1} \right) \frac{\rho_x}{2 c_x} & -\left(\frac{1}{2} u_x^2 - u_x c_x + \frac{c_x^2}{\gamma - 1} \right) \frac{\rho_x}{2 c_x} \end{pmatrix}$$

Όπου ρ_x, u_x, c_x , αντικαθιστούμε με:

$$\rho_x = \sqrt{\rho_L} \cdot \sqrt{\rho_R}$$

$$u_x = \frac{u_L \sqrt{\rho_L} + u_R \sqrt{\rho_R}}{\sqrt{\rho_L} + \sqrt{\rho_R}}$$

$$H_x = \frac{H_L \sqrt{\rho_L} + H_R \sqrt{\rho_R}}{\sqrt{\rho_L} + \sqrt{\rho_R}}$$

$$c_x = \sqrt{(\gamma - 1)(H_x - 0.5 u_x^2)}$$

Και

$$|A| = \begin{pmatrix} \lambda_1 & 0 & 0 \\ 0 & \lambda_2 & 0 \\ 0 & 0 & \lambda_3 \end{pmatrix} = \begin{pmatrix} u_x & 0 & 0 \\ 0 & u_x + c_x & 0 \\ 0 & 0 & u_x - c_x \end{pmatrix}$$

Runge – Kutta για βηματισμό στον χρόνο

Τώρα που έχουμε τρόπο να υπολογίζουμε τις παροχές στα σύνορα, άρα και χρονικές παραγώγους μέσω της εξίσωσης μας, μπορούμε να μεταβούμε από τη μια χρονική στιγμή στην άλλη. Για να το πετύχουμε αυτό χρησιμοποιούμε το παρακάτω σχήμα RK, για το οποίο θεωρούμε τις σταθερές:

$$rk[1:4] = [0.1084, 0.2602, 0.5052, 1]$$

Όπου μια εξίσωση:

$$\frac{dy}{dt} = f(y)$$

Επιλύεται 4 φορές με αρχική συνθήκη $y_0 = y(t)$:

$$y_k = y_0 + dt \cdot rk(k) \cdot f(y_{k-1})$$

Συγκεκριμένα,

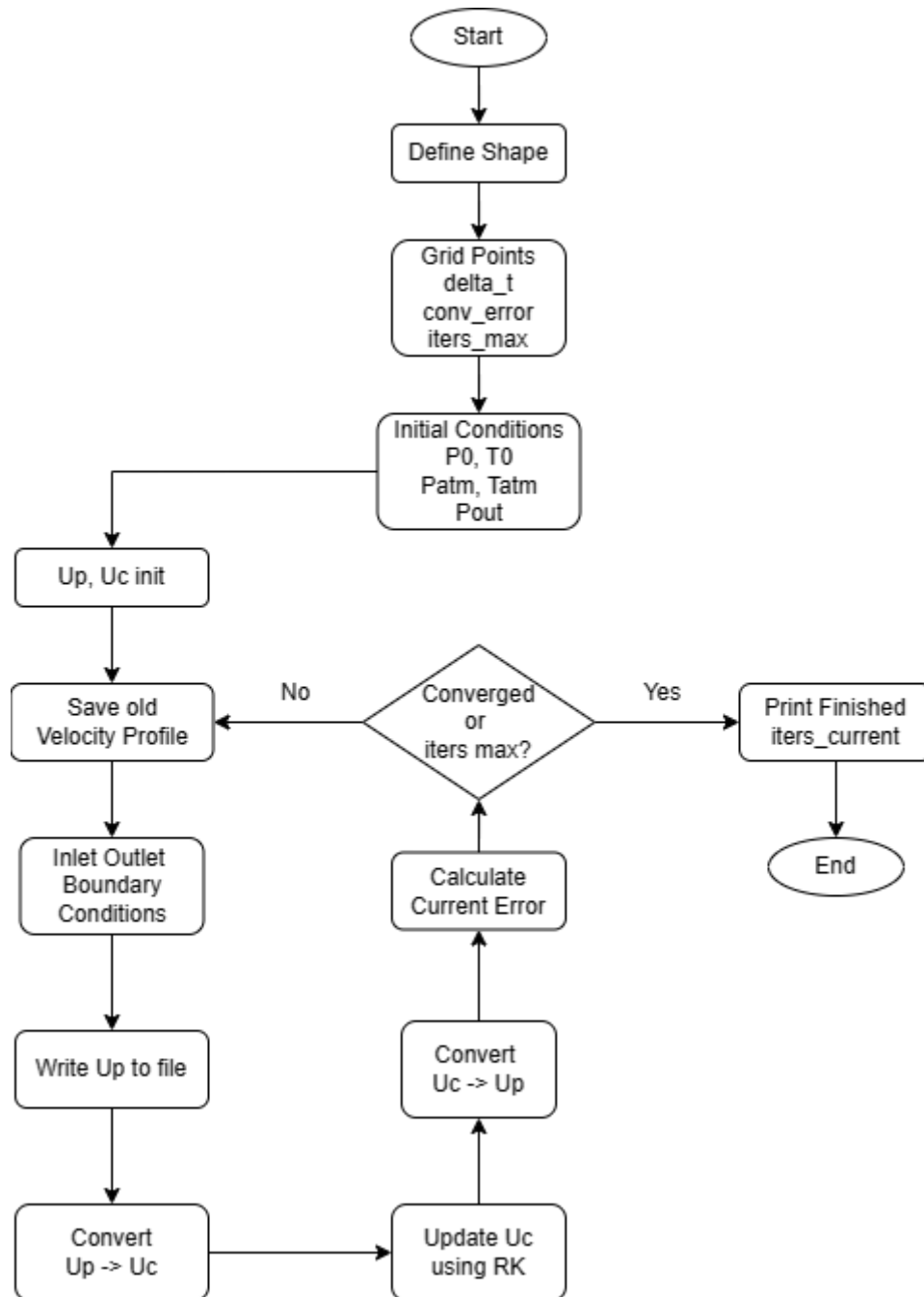
$$\left. \frac{\partial \vec{U}_c}{\partial t} \right|_k = \vec{U}_c|_{k=0} + \Delta t \cdot rk(k) \cdot \left(\vec{Q}(\vec{U}_c) - \frac{\vec{R}(\vec{U}_c)}{\Delta x} \right)$$

Η εφαρμογή του συγκεκριμένου κομματιού σε python φαίνεται εδώ:

```
1. # U_C : 3xN
2. def customRKstep(U_C, delta_x, delta_t, a, b, c, k):
3.
4.     # Define rk constants
5.     rk = [0.1084, 0.2602, 0.5052, 1]
6.
7.     N = U_C.shape[1]
8.     U_ = np.copy(U_C)    # Resulting U_C
9.
10.    # For every RK constant
11.    for j in range(len(rk)):
12.        U_P_ = ucToUp(U_)
13.
14.        # For every internal node
15.        for i in range(1, N-1):
16.            U_[i, i] = U_C[:, i] + delta_t * rk[j] *
17.                (calcQ(i, U_P_, delta_x, a, b, c, k) - calcR(i, U_P_)/delta_x)
18.
19.    return U_    # U_C
```


Αλγόριθμος επίλυσης

Πριν ξεκινήσουμε την παρουσίαση του κώδικα και των επιμέρους του στοιχείων, ίσως έχει νόημα να παρατηρήσουμε λίγο σε ένα διάγραμμα ροής την αλληλουχία διαδικασιών που πραγματοποιούμε.



Εικόνα 2: Διάγραμμα ροής στο οποίο φαίνεται το σκεπτικό πίσω απ' το κυρίως κομμάτι κώδικα

Παρουσίαση Αποτελεσμάτων

Σύμφωνα με τον κανόνα για εύρεση αρχικών συνθηκών που είχε δοθεί και τον αριθμό μητρώου μου, η πίεση αεροφυλακίου θα ήταν 0 bar. Με αυτό προέκυπτε πρόβλημα καθώς βγαίνουν μετά από κάνα δυο επαναλήψεις διάφορα υπόριζα αρνητικά. Για τον λόγο αυτό και αποφάσισα να αυξήσω την πίεση εισόδου καθώς και την διαφορά πίεσης αεροφυλακίου από το 0.7 bar στα παρακάτω. Συνολικά γίναν αρκετές δοκιμές. Οι ουσιαστικότερες ήταν 2, μια για μήκος αγωγού 2.2 m και μία για μήκος 1 m.

Μια στένωση στον αγωγό

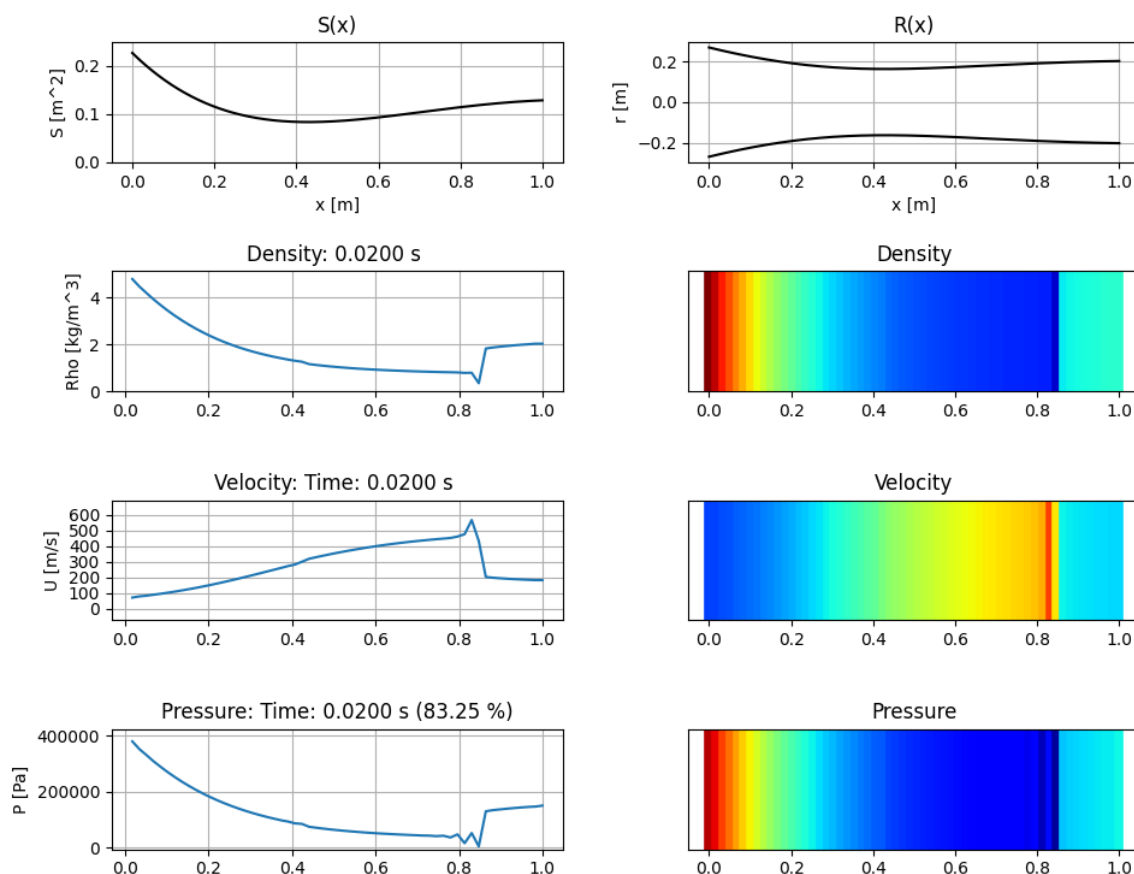
Αρχικές Συνθήκες:

$$P_0 = 4 \text{ bar}, \quad T_0 = 275 \text{ K}$$

$$P_{atm} = P_{out} = 1.5 \text{ bar}, \quad T_{atm} = 273.15 \text{ K}$$

$$\Delta t = 10^{-6} \text{ sec}$$

$$\#\text{κόμβων} = 70$$



Εικόνα 3: Χαρακτηριστικό στιγμιότυπο από την προσομοίωση ροής σε αγωγό με ένα στένεμα

Στο παραπάνω σχήμα βλέπουμε ξεκάθαρα τις συνθήκες που επικρατούν στο εσωτερικό του αγωγού με ένα στένεμα (ίδια μορφή με τον επόμενο αλλά κομμένο νωρίτερα), σε φάση πολύ κοντά στη μόνιμη κατάσταση. Παρατηρούμε ξεκάθαρα αναπτυγμένη ροή με εμφάνιση

κρουστικού κύματος στη περιοχή ανάμεσα στην έξοδο και στον λαιμό. Παρατηρούμε επίσης πως επιβεβαιώνεται το γεγονός ότι η ροή στον λαιμό γίνεται ηχητική πιάνοντας Mach ίσο με τη μονάδα.

Αυτό που αξίζει να σημειωθεί είναι η αντίφαση μεταξύ του αριθμού των κόμβων που καταλήξαμε να χρησιμοποιούμε και του χρονικού βήματος. Παρατηρήσαμε πως αυξάνοντας το πλήθος των κόμβων σε πάνω από 150 ο κώδικας δυσκολευόταν αρκετά βηματίζει στον χρόνο. Για τον λόγο αυτό και βρήκαμε πως μια επιλογή ανάμεσα στο 50 και στο 100 έδινε τα κατάλληλα αποτελέσματα με σχετικά ικανοποιητική ταχύτητα. Ακόμα, στην αρχή μας έκανε εντύπωση το γεγονός ότι για να τρέξει απαιτούσε πολύ μικρό χρονικό βήμα της τάξης του 10^{-6} . Λογικό δεδομένου ότι το φαινόμενο που παρατηρούμε εξελίσσεται ραγδαία. Χρειαζόταν κατά μέσο όρο 20 ms για να πιάσει μόνιμη κατάσταση (αρκεί η διαφορά πίεσης να μην ήταν μεγαλύτερη από 5 με 6 bar όπου και παρατηρούσαμε ταλαντώσεις, περισσότερα για τις οποίες θα πούμε στη συνέχεια).

Διο διαδοχικές στενώσεις

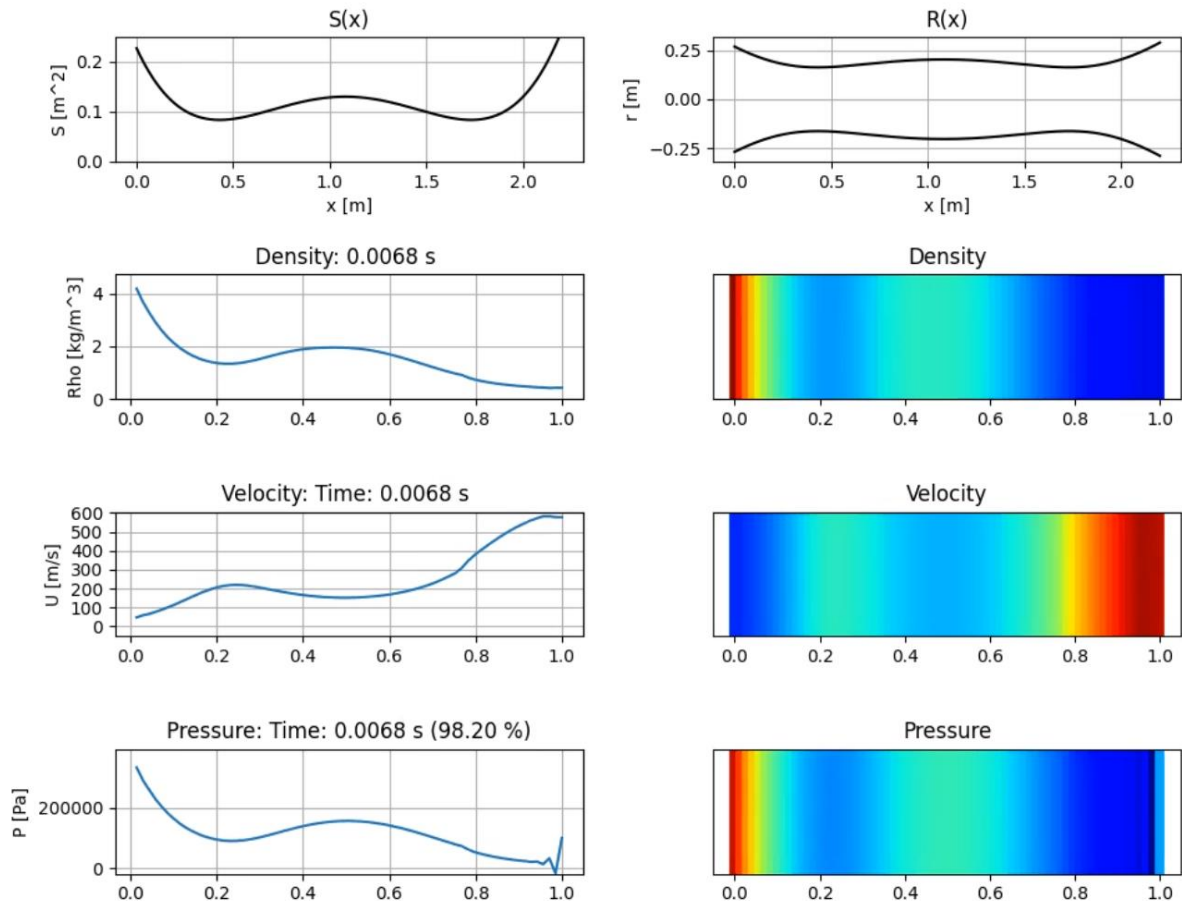
Αρχικές συνθήκες και σημαντικά μεγέθη ίδια με πριν. Συγκρίνουμε σχήμα αγωγού:

$$P_0 = 4 \text{ bar}, \quad T_0 = 275 \text{ K}$$

$$P_{atm} = P_{out} = 1.5 \text{ bar}, \quad T_{atm} = 273.15 \text{ K}$$

$$\Delta t = 10^{-6} \text{ sec}$$

$$\#\text{κόμβων} = 70$$



Εικόνα 4: Χαρακτηριστικό στιγμιότυπο από την προσομοίωση ροής σε αγωγό με δυο διαδοχικά στενέματα

Και στις 2 περιπτώσεις, στην αρχή του χρόνου υπάρχει μια μεγάλη ασυνέχεια στον πρώτο κόμβο αμέσως μετά το αεροφυλάκιο. Εκεί, από τη μια μεριά η πίεση είναι αυτή του αεροφυλακίου, ενώ αμέσως μετά υπάρχει η εξόδου κατά μήκος όλου του αγωγού. Επομένως με το άνοιγμα της βάνας παρατηρούμε την πίεση αμέσως να αυξάνεται και ένα κύμα ταχύτητας να διαδίδεται. Η πίεση με την ταχύτητα κυμαίνονται ουσιαστικά ανάποδα όπως είναι λογικό, αυξάνεται τοπικά η μία, μειώνεται η άλλη. Ηχητική, αν μπορεί, η ροή γίνεται στον εκάστοτε λαιμό και μετά είτε επιβραδύνει είτε επιταχύνει αναλόγως με το αν τα κατάφερε να πιάσει Mach ίσο με 1. Μετά από μερικά κύματα μπρος πίσω, η ροή ισορροπεί και φτάνουμε στο προφίλ που παρατηρούμε παραπάνω σε μόνιμη κατάσταση με κύμα κρούσης ή χωρίς.

Παράρτημα – Κώδικες

Ορισμός μεταβλητών σχήματος

```
1. # S(x) = k + a * x_^2 * (x_^2 - b^2)
2. # x_ = x - c
3.
4. # Shape Constants Definition
5. k = 0.13
6. a = 2*k
7. b = 0.92
8. c = 2-b
9.
10. L = 2.2    # [m] - Length of the tube
11.
```

Βασική Επίλυση Ροής

```
1. import numpy as np
2. from myFunctions import *
3. from constantsToUse import *
4.
5. # Create folders if they don't exist
6. checkOrCreateFolderResults("results")
7. checkOrCreateFolderResults("results/current_run_csvs")
8. checkOrCreateFolderResults("results/animation")
9.
10. # Remove any previous results
11. os.system("rm results/current_run_csvs/*.csv")
12.
13. # -----
14. N = 70 # Number of grid points
15. delta_t = 1e-6 # Time step
16. SKIP_FRAMES = 30 # Number of frames to skip when saving animation
17. SKIP_PRINTS = 10 # Number of frames to skip when saving animation
18. CONV_E = 3e-2 # Convergence criteria
19. N_TIME_STEPS_MAX = 50000 # Number of time steps to solve./
20.
21. # Plot S(x), R(x) and Save them
22. plotAndSaveS(a, b, c, k, L)
23.
24. # Initial Conditions
25. P0 = 4e5 # [Pa] - Aerofilakio
26. T0 = 275 # [K] - Aerofilakio
27. Pout = 1.5e5 # [Pa] - Outlet
28. Patm = Pout # [Pa] - Atmospheric
29. Tatm = 273.15 # [K] - Atmospheric
30. # -----
31.
32. # Grid Definition
33. delta_x = L / (N - 1)
34.
35. # General Initialization
36. U_P = np.zeros((3, N))
37. U_C = np.zeros((3, N))
38. U_u_old = np.zeros((1, N)) # u at previous time step
39.
40. U_P[0, :] = Patm / (287 * Tatm) # Initial Density - Ideal Gas Law
41. U_P[1, :] = 0 # Initial Velocity
42. U_P[2, :] = Patm # Initial Pressure
43.
44. # Boundary Conditions
45. U_P[0, 0] = P0 / (287 * T0) # rho 0
46. U_P[1, 0] = U_P[1, 1] # u 0
47. U_P[2, 0] = P0 # p 0
48.
49. U_P[0, N-1] = U_P[0, N-2] # rho Outlet
50. U_P[1, N-1] = U_P[1, N-2] # u Outlet
51. U_P[2, N-1] = Pout # p Outlet
52.
53. # Time Loop
54. t = 0
55. i = 0
56.
57. # Save initial state, initial conditions and shape constants
58. np.savetxt(f"results/current_run_csvs/U_P_init.csv",
    np.hstack((np.linspace(0, 1, N).reshape(N, 1), np.transpose(U_P))), delimiter=",")
59. np.savetxt("results/INIT_CONDITIONS.csv",
    np.array([["P0", "T0", "Pout"], [P0, T0, Pout]]), delimiter=",", fmt="%s")
60. np.savetxt("results/SHAPE_CONSTS.csv",
    np.array([["k", "a", "b", "c", "L"], [k, a, b, c, L]]), delimiter=",", fmt="%s")
61.
```

```

62. # Solving in Time
63. conv_error = 1
64. np.savetxt("results/N_TIME_STEPS.csv",
    np.array([N_TIME_STEPS_MAX, delta_t, SKIP_FRAMES]), delimiter=",")
65.
66. print("Solving in Time...")
67. while i < N_TIME_STEPS_MAX and (conv_error > CONV_E or i % SKIP_FRAMES != 0):
68.
69.     # Print progress
70.     if i % SKIP_PRINTS == 0:
71.         print(f"Solving Time Step {i} of {N_TIME_STEPS_MAX}
    at t = {t:.6f} \t {i/N_TIME_STEPS_MAX * 100:.2f}% \t \
72.         conv_error = {conv_error:.2e}/{CONV_E:.1e} ->
    {(CONV_E)/conv_error * 100:.2f}% ")
73.
74.     # Save old Velocity Profile
75.     U_u_old = np.copy(U_P[1, :])
76.
77.     # Boundary Conditions
78.     # Inlet
79.     U_P[0, 0] = P0 / (287 * T0) # rho 0
80.     U_P[1, 0] = U_P[1, 1]      # u 0
81.     U_P[2, 0] = P0             # p 0
82.     # Outlet
83.     U_P[0, N-1] = U_P[0, N-2] # rho Outlet
84.     U_P[1, N-1] = U_P[1, N-2] # u Outlet
85.     U_P[2, N-1] = Pout        # p Outlet
86.
87.     # Write U_P to file
88.     if i % SKIP_FRAMES == 0:
89.         np.savetxt(f"results/current_run_csvs/U_P_timestep_{i}.csv",
    np.hstack((np.linspace(0, 1, N).reshape(N, 1), np.transpose(U_P))), delimiter=",")
90.
91.     # Calculate U_C
92.     U_C = upToUc(U_P)
93.
94.     # Update U_C using RK
95.     U_C = customRKstep(U_C, delta_x, delta_t, a, b, c, k)
96.
97.     # Convert U_C to U_P
98.     U_P = ucToUp(U_C)
99.
100.    # Calc current conv_error
101.    conv_error = np.max(np.abs(U_P[1, :] - U_u_old))
102.
103.    # Update time and iteration
104.    t = t + delta_t
105.    i = i + 1
106.
107. np.savetxt("results/N_TIME_STEPS.csv", np.array([i, delta_t, SKIP_FRAMES]), delimiter=",")
108.
109. if i == N_TIME_STEPS_MAX:
110.     print("Maximum number of time steps reached!")
111. else:
112.     print("Convergence reached!")
113.
114. print(f"Finished at t = {t:.4f}, iter = {i}/{N_TIME_STEPS_MAX}")
115.

```

Βασικές συναρτήσεις που χρησιμοποιήθηκαν

```
1. import numpy as np
2. import matplotlib.pyplot as plt
3.
4. gamma = 1.4
5. gamma1 = gamma - 1
6.
7. '''
8. Equation:
9.
10. dUi      - 1
11. ---- = ---- * R(U_i) + Q_i
12. dt      DeltaX
13.
14.
15. Uc = [rho, rho*u, rho*E]
16. Up = [rho, u, p]
17.
18. The following functions need as input:
19. - roeTilda      : uL - uR (uPrime)
20. - solveRiemann  : uL - uR (uPrime)
21. - F             : Up - 3x1
22. - calcR        : Up - 3xN
23. - calcQ        : Up - 3xN
24.
25. '''
26.
27. # Surface Area
28. def S(x, a, b, c, k):
29.     x_ = x - c
30.     return k + a * x_**2 * (x_**2 - b**2)
31. def dSdX(x, a, b, c, k):
32.     x_ = x - c
33.     return 4 * a * x_**3 - 2 * a * b**2 * x_
34. def plotAndSaveS(a, b, c, k, L):
35.     x = np.linspace(0, L, 1000)
36.     y = S(x, a, b, c, k)
37.
38.     plt.plot(x, y, 'k-')
39.     plt.title("Surface Area S(x)")
40.     plt.grid()
41.     plt.xlabel("x [m]")
42.     plt.ylabel("S [m^2]")
43.     plt.ylim(0, 1.1 * np.max(y))
44.     plt.savefig("results/S(x).png")
45.     plt.close()
46.
47.     r = np.sqrt(y/np.pi)
48.     plt.plot(x, r, 'k-')
49.     plt.plot(x, -r, 'k-')
50.     plt.title("Radius r(x)")
51.     plt.xlabel("x [m]")
52.     plt.ylabel("r [m]")
53.     plt.grid()
54.     plt.savefig("results/r(x).png")
55.     plt.close()
56.
57.
```



```

58. # Convert from Uc to Up and vice versa
59. def ucToUp(uc):
60.     uc = np.atleast_2d(uc).T if uc.ndim == 1 else uc
61.     up1 = uc[0, :]
62.     up2 = uc[1, :]/uc[0, :]
63.     up3 = gamma1 * (uc[2, :] - 0.5 * uc[1, :]**2 / uc[0, :])
64.     return np.vstack((up1, up2, up3)).squeeze()
65.
66. def upToUc(up):
67.     up = np.atleast_2d(up).T if up.ndim == 1 else up
68.     uc1 = up[0, :]
69.     uc2 = up[1, :] * up[0, :]
70.     uc3 = up[2, :] / gamma1 + 0.5 * up[0, :] * up[1, :]**2
71.     return np.vstack((uc1, uc2, uc3)).squeeze()
72.
73. # Input upL, upR
74. # Returns [rho_, u_, H_, c_]
75. def roeTilda(uL, uR):
76.     s_rhoL = np.sqrt(uL[0])
77.     s_rhoR = np.sqrt(uR[0])
78.
79.     rho_ = s_rhoL * s_rhoR
80.     u_ = (s_rhoL * uL[1] + s_rhoR * uR[1]) / (s_rhoL + s_rhoR)
81.
82.     hL = (upToUc(uL)[2] + uL[2])/uL[0] # to check if it is correct
83.     hR = (upToUc(uR)[2] + uR[2])/uR[0] # to check if it is correct
84.     H_ = (s_rhoL * hL + s_rhoR * hR) / (s_rhoL + s_rhoR)
85.
86.     c_ = np.sqrt((gamma - 1) * (H_ - 0.5 * u_**2))
87.
88.     return np.array([rho_, u_, H_, c_])
89.
90. # Flux
91. def F(uP):
92.     F1 = uP[0] * uP[1]
93.     F2 = uP[0] * np.abs(uP[1]) * uP[1] + uP[2]
94.     # F2 = uP[0] * uP[1]**2 + uP[2]
95.     F3 = (upToUc(uP)[2] + uP[2]) * uP[1]
96.     return np.array([F1, F2, F3])
97.
98. # Solve Riemann problem - |A|
99. # Input uL, uR
100. def solveRiemann(uL, uR):
101.     rho_, u_, H_, c_ = roeTilda(uL, uR)
102.
103.     # Calculate eigenvalues
104.     lam1 = u_ # to check if it is correct
105.     lam2 = u_ + c_
106.     lam3 = u_ - c_
107.     Lamda = np.diag(np.abs([lam1, lam2, lam3]))
108.
109.     # Calculate Right eigenvectors 3x3
110.     R = np.zeros((3,3))
111.     R[0, 0] = 1
112.     R[0, 1] = + 0.5 * rho_ / c_
113.     R[0, 2] = - 0.5 * rho_ / c_
114.     R[1, 0] = u_
115.     R[1, 1] = + 0.5 * (u_ + c_) * rho_ / c_
116.     R[1, 2] = - 0.5 * (u_ - c_) * rho_ / c_
117.     R[2, 0] = 0.5 * u_**2
118.     R[2, 1] = + (0.5 * u_**2 + u_*c_ + c_**2 / gamma1) * 0.5 * rho_ / c_
119.     R[2, 2] = - (0.5 * u_**2 - u_*c_ + c_**2 / gamma1) * 0.5 * rho_ / c_
120.

```

```

121. # Calculate Left eigenvectors 3x3
122. L = np.zeros((3,3))
123. L[0, 0] = 1 - 0.5 * (gamma - 1) * u_**2 / c_**2
124. L[0, 1] = gamma1 * u_ / c_**2
125. L[0, 2] = - gamma1 / c_**2
126. L[1, 0] = + (0.5 * gamma1 * u_**2 - u_*c_) * 1 / (rho_ * c_)
127. L[1, 1] = - (gamma1 * u_ - c_) / (rho_ * c_)
128. L[1, 2] = gamma1 / (rho_ * c_)
129. L[2, 0] = - (0.5 * gamma1 * u_**2 + u_*c_) * 1 / (rho_ * c_)
130. L[2, 1] = + (gamma1 * u_ + c_) / (rho_ * c_)
131. L[2, 2] = - gamma1 / (rho_ * c_)
132.
133.
134. # Calculate resulting |A| -> R * Lamda * L
135. A = np.matmul(np.matmul(R, Lamda), L)
136.
137. return A
138.
140. # R = Fe - Fw
141. # U_P: 3xN
142. def calcR(i, U_P):
143.     uP = U_P[:, i]
144.     uE = U_P[:, i+1]
145.     uW = U_P[:, i-1]
146.
147.     # Calculate As
148.     A_E = solveRiemann(uP, uE)
149.     A_W = solveRiemann(uW, uP)
150.
151.     # Calculate Flux
152.     Fe = 0.5 * (F(uP) + F(uE)) + 0.5 * np.matmul(A_E, (uP - uE))
153.     Fw = 0.5 * (F(uW) + F(uP)) + 0.5 * np.matmul(A_W, (uW - uP))
154.
155.     # print(f"iter_{i}: R = {Fe - Fw}")
156.
157.     return Fe - Fw
158.
159.
160. # External Q
161. # U_P = 3xN
162. def calcQ(i, U_P, delta_x, a, b, c, k):
163.
164.     p = U_P[2, i]
165.     S_i = S(i*delta_x, a, b, c, k)
166.     dSdX_i = dSdX(i*delta_x, a, b, c, k)
167.
168.     Q = np.zeros(3)
169.     Q[1] = p / S_i * dSdX_i
170.
171.     # print(f"iter_{i}: Q2 = {Q[1]}")
172.     return Q
173.
174. # U_C : 3xN
175. def customRKstep(U_C, delta_x, delta_t, a, b, c, k):
176.
177.     # Define rk constants
178.     rk = [0.1084, 0.2602, 0.5052, 1]
179.
180.     N = U_C.shape[1]
181.     U_ = np.copy(U_C) # Resulting U_C
182.
183.     # For every RK constant
184.     for j in range(len(rk)):
185.         U_P_ = ucToUp(U_)
186.
187.         # For every internal node
188.         for i in range(1, N-1):
189.             U[:, i] = U_C[:, i] + delta_t * rk[j] *
                (calcQ(i, U_P_, delta_x, a, b, c, k) - calcR(i, U_P_)/delta_x)
190.     return U_ # U_C

```

```

192.
194. # Resulting Solution Boundaries
195. def resultingSolBoundaries(folder_filename, N_TIME_STEPS, SKIP_FRAMES):
196.     rho_low, rho_high = 0, 0
197.     u_low, u_high = 0, 0
198.     p_low, p_high = 0, 0
199.
200.     # Read all files
201.     for i in range(0, N_TIME_STEPS, SKIP_FRAMES):
202.         U_P = np.loadtxt(f"{folder_filename}/U_P_timestep_{i}.csv", delimiter=",")
203.         U_P = np.transpose(U_P[:, 1:])
204.
205.         rho = U_P[0, :]
206.         u = U_P[1, :]
207.         p = U_P[2, :]
208.
209.         rho_low = np.min([rho_low, np.min(rho)])
210.         rho_high = np.max([rho_high, np.max(rho)])
211.
212.         u_low = np.min([u_low, np.min(u)])
213.         u_high = np.max([u_high, np.max(u)])
214.
215.         p_low = np.min([p_low, np.min(p)])
216.         p_high = np.max([p_high, np.max(p)])
217.
218.     return rho_low, rho_high, u_low, u_high, p_low, p_high
219.
220. import os
221. def checkOrCreateFolderResults(folder_path):
222.     # Check if the folder exists
223.     if not os.path.exists(folder_path):
224.         # Create the folder if it does not exist
225.         os.makedirs(folder_path)
226.         print(f"Folder {folder_path} created successfully in the current directory.")
227.     else:
228.         print(f"Folder {folder_path} already exists in the current directory.")
229.

```